

03

## Физико-математическая модель обледенения вращающейся сферы в соосном переохлажденном газокапельном потоке

© А.В. Кашеваров, А.Л. Стасенко

Центральный аэрогидродинамический институт им. проф. Н.Е. Жуковского,  
140180 Жуковский, Россия  
e-mail: a.v.kash@yandex.ru

Поступило в Редакцию 21 июня 2023 г.  
В окончательной редакции 27 июля 2023 г.  
Принято к публикации 27 июля 2023 г.

Предложена физико-математическая модель для оценки влияния центробежной силы на характерные размеры иглообразной наледи, образующейся в результате соударения большой переохлажденной капли со сферой, вращающейся в соосном потоке воздуха. Учтены потери массы капель при столкновении с поверхностью вследствие расплескивания. Численная реализация модели позволила исследовать влияние свойств поверхности на процесс обледенения и, в частности, оценить площадь поверхности, освобожденной ото льда центробежной силой.

**Ключевые слова:** большие переохлажденные капли, расплескивание капли, центробежная сила, угол смачивания, поверхностное натяжение, отрыв капель.

DOI: 10.61011/JTF.2023.10.56279.155-23

### Введение

Обледенение тела в переохлажденном воздушно-капельном потоке сопровождается комплексом сложных физических явлений. К настоящему времени во многих странах созданы сертифицированные численные коды для предсказания пространственно-временной эволюции наледи на элементах конструкции летательного аппарата. Некоторые из этих кодов, в частности FENSAP-ICE, рассматривают также обледенение вращающихся элементов конструкции двигателя. При этом возникают дополнительные осложнения в физико-математическом моделировании обледенения. Так, в [1] приведены результаты исследований в аэроохлажденной трубе форм наледи на вентиляторах с различной формой центральных тел (конус, эллипсоид и конус с эллипсоидальным продолжением) в переохлажденном воздушном потоке с каплями небольшого диаметра ( $\sim 20 \mu\text{m}$ ). Получено, в частности, что вращение приводит к образованию иглообразных сосулек на части поверхности центрального тела на некотором удалении от его вершины, а далее возникает свободная ото льда зона из-за срыва льда под действием центробежных сил. Существующие коды пока не позволяют моделировать такие ледяные наросты.

Иглообразные сосульки возникали при слабо отрицательной температуре воздушного потока ( $-5^\circ\text{C}$ ) и достаточно большой массовой концентрации жидкой воды в нем (LWC — Liquid Water Content) в условиях образования так называемого глянцевого льда. При этом переохлажденные капли не замерзали полностью при ударе о поверхность, образуя текущую жидкую пленку. Формирование игольчатой наледи объяснено в [1] отрывом пленки от поверхности под действием центробежных сил с последующим замерзанием. В [2]

сообщается, что подобные игольчатые образования обнаружены на коке вентилятора двигателя в реальном полете самолета A321 в условиях ледяного дождя, т.е. больших переохлажденных капель.

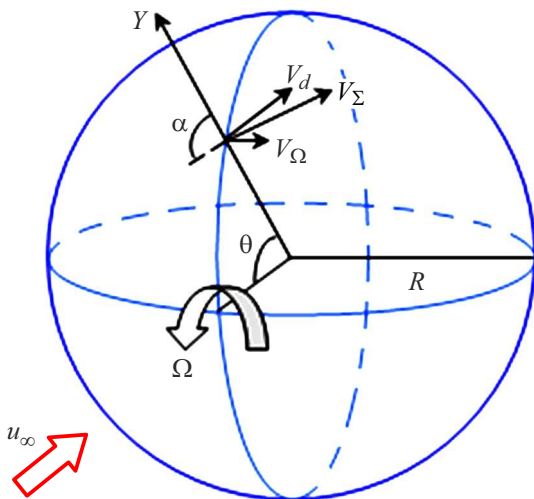
В [3] предложена дискретно-капельная модель обледенения поперечного невращающегося цилиндра в таких условиях, использующая результаты экспериментальных и теоретических исследований [4,5] соударения капли с плоской поверхностью. Предложенный в [3] дискретно-капельный подход модифицирован и применен в настоящей работе для моделирования формы замерзшей большой переохлажденной капли на поверхности вращающейся сферы.

### 1. Предварительные соображения

Рассмотрим воздушный поток со скоростью  $u_\infty$ , несущий большие переохлажденные капли радиуса  $a_d$ , но в отличие от случая [3] они соударяются с поверхностью вращающейся сферы радиуса  $R$ . Согласно международным нормам летной годности, „большими“ считаются капли диаметром более  $100 \mu\text{m}$ .

Схема натекания капли на вращающуюся сферу приведена на рис. 1. Обратим внимание на то, что угловая скорость вращения сферы  $W$  изображена в „неподвижной“ системе координат. Вращение сферы приводит к возникновению обтекания поверхности сферы в обратном направлении, указанном вектором  $V_W$ . Впрочем, выбор направления вращения сферы при осесимметричном обтекании не влияет на результат обледенения.

При ударе капля расплескивается и лишь часть  $m$  ее изначальной массы  $m_0$  остается на поверхности. В [3] на основе результатов работы [4] для неподвижной по-



**Рис. 1.** Геометрия вращающейся сферы. Угловая скорость Ω дана в лабораторной системе координат, компоненты скоростей капли — в локальной неинерциальной системе.

верхности предложена аппроксимационная зависимость коэффициента  $\xi = m/m_0$  от угла падения  $\alpha$  капли

$$\xi = \frac{m}{m_0} = \left[ 1 - \left| \frac{R_s - R_l}{R_s + R_l} \right|^3 \frac{d_0}{d_*} \left( \frac{v_n}{v_*} \right)^{2/3} \left( \frac{\mu_*}{\mu_l} \right)^{1/2} \times \cos^2 \alpha \right] \cos^{1/6} \alpha \geq 0.$$

Здесь  $R_{s,l} = \rho_{s,l} c_{s,l}$  — волновые сопротивления (импедансы) материалов обтекаемого тела и капли ( $\rho_{s,l}$  и  $c_{s,l}$  — их плотности и скорости звука в них,  $s$  — solid,  $l$  — liquid),  $v_n$  — нормальная составляющая скорости удара,  $\mu_l$  — вязкость жидкости. Значения опорных параметров:  $d_* = 250 \mu\text{m}$ ,  $v_* = 80 \text{ m/s}$ ,  $\mu_* = 1.75 \cdot 10^{-3} \text{ Pa} \cdot \text{s}$ .

Влияние вращения на долю  $\xi$  массы, оставшейся на поверхности, определяется через изменение угла падения  $\alpha$  (рис. 1), так что

$$\cos \alpha = \cos \theta [1 + (V_\Omega/u_\infty)^2]^{-1/2}, \quad V_\Omega = \Omega R \sin \theta,$$

где  $\theta$  — полярный угол сферической системы координат,  $V_\Omega$  — окружная скорость капли в точке падения,  $\Omega$  — угловая скорость вращения сферы.

Далее в [3] в принято, что жидкость, оставшаяся после удара, растекается по поверхности, и в момент прекращения растекания форма пятна контакта жидкости с поверхностью представляет собой эллипс с полуосями

$$a_l = r_l \cos^{-2/5} \alpha, \quad b_l = r_l \cos^{1/5} \alpha;$$

для максимального радиуса  $r_l$  пятна контакта при нормальном соударении ( $\alpha = 0$ ) получена оценка:

$$r_l \sim \frac{2\xi^{5/12} a_d}{\sqrt{6}} \left( \frac{\rho_l v_n a_d}{\mu_l} \right)^{1/4}. \tag{1}$$

Классическим примером существенной деформации в силовом поле является капля, висащая на потоке. В отличие от этой ситуации отвердевание переохлажденной капли после соударения с вращающимся телом сопровождается, помимо удлинения под действием центробежной силы и возможным срывом с его поверхности, комплексом физических явлений, в частности, нуклеацией, скорость которой зависит от характеристик сдвигового течения жидкости [6]; ростом кристаллов, суммарный объем которых увеличивает эффективную вязкость суспензии (например, известная формула Эйнштейна) и ее коэффициент теплопроводности; выделением теплоты фазовых переходов, которая удаляется теплообменом с обтекающим воздухом и, возможно, излучением [7,8].

Как показывает эксперимент [9], даже в случае капли, отвердевающей на неподвижной подложке, образуется полярное заострение; в случае вращения осесимметричных тел (конуса, эллипсоида), как уже было отмечено во Введении, образуются иглообразные сосульки [1,2].

Целью настоящей работы является определение формы и наклона ледяных иглолок, а также место их отрыва под действием центробежной силы. Предлагаемая ниже модель справедлива для капель любых размеров; разумеется, для мелких капель рассмотренные эффекты не столь выразительны.

## 2. Физико-математическая модель

Обилие сложных физических процессов приводит к необходимости построения математических моделей, использующих ряд упрощающих предположений и эвристических соображений. Заменим оставшуюся на поверхности жидкость равновеликим по объему сопутствующим телом более простой формы. Наиболее подходящим для имитации образования иглообразной сосульки сопутствующим телом является конус. К сожалению, площадь поверхности наклонного конуса не удается представить в элементарных функциях. Поэтому в качестве сопутствующего тела возьмем пирамиду с квадратным основанием. Отметим, что отличие площадей соприкосновения с воздухом для прямых пирамиды и конуса одинакового объема и высоты не превышает величины  $\sim 10\%$ . Можно надеяться, что таков же масштаб ошибки при замене неизвестной реальной формы ледяной иглы на коническую. Это позволяет также рассматривать конус и пирамиду как равноценные фигуры и использовать ту и другую, исходя из удобства оценок.

Центробежная сила приводит к удлинению капли и уменьшению площади ее контакта с поверхностью твердого тела, уменьшая энергию соприкосновения с воздухом. Кроме того, происходит наклон оси пирамиды на угол  $\vartheta$  по отношению к локальной нормали. Геометрия сопутствующей пирамиды представлена на рис. 2.

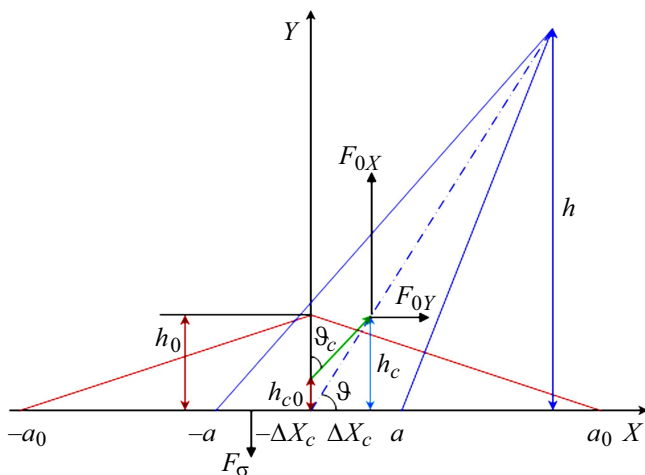


Рис. 2. Геометрия сопутствующей пирамиды.

Запишем изменение суммарной поверхностной энергии за счет работы центробежной силы

$$\begin{aligned} & \sigma_{la}(S_a - S_{a0}) + \sigma_{ls}(S_w - S_{w0}) - \sigma_{sa}(S_w - S_{w0}) \\ & = m\Omega^2 R(Y_c - Y_{c0})(\sin^2 \theta + \tan \vartheta_c \cos \theta \sin \theta). \end{aligned}$$

Здесь  $\sigma_{la}, \sigma_{ls}$  и  $\sigma_{sa}$  — коэффициенты поверхностного натяжения на границах: жидкость–воздух, жидкость–твердое тело, твердое тело–воздух (индексы:  $l$  — liquid,  $a$  — air,  $s$  — solid). Далее  $S_a$  и  $S_{a0}$  — площади боковой поверхности (граничащей с воздухом) пирамиды при наличии и отсутствии вращения,  $S_w$  и  $S_{w0}$  — соответствующие площади основания (контактирующей с поверхностью сферы — стенкой, индекс  $w$  — wall) пирамиды. Затем  $Y_c$  и  $Y_{c0}$  — соответствующие координаты ее центра масс в перпендикулярном направлении. Наконец,  $\vartheta_c$  — угол наклона траектории смещения центра масс, находящийся на расстоянии четверти высоты пирамиды. Он связан с  $\vartheta$  соотношением

$$\tan \vartheta = \tan \vartheta_c (1 - h_0/h).$$

где  $h_0$  и  $h$  — высоты пирамиды в отсутствие и при наличии вращения.

Таким образом, первое слагаемое описывает приращение поверхности соприкосновения жидкости с воздухом, второе — с твердым телом, третье — воздуха с твердым телом. В дальнейшем положим  $\sigma_{la} \equiv \sigma$ . При записи уравнения действием силы тяжести пренебрегалось. Кроме того, учтено, что основная часть площади поперечного сечения фигуры находится в пограничном слое, так что влиянием аэродинамической силы можно пренебречь. Предполагается, что  $h \ll R$ , так что центробежную силу можно считать постоянной на масштабах капли или сопутствующего тела (пирамиды).

В безразмерных переменных  $H = h/a$ ,  $H_0 = h_0/a_0$  ( $a$  и  $a_0$  — половина длины стороны квадрата основания

пирамиды при наличии и отсутствии вращения) это уравнение принимает вид

$$\begin{aligned} & 2(1 + H^2)^{1/2} + [H^2 + (1 + H \tan \vartheta)^2]^{1/2} \\ & + [H^2 + (1 - H \tan \vartheta)^2]^{1/2} - 4(H/H_0)^{2/3}(1 + H_0^2)^{1/2} \\ & + 4 \cos \theta [(H/H_0)^{2/3} - 1] = A\chi\xi^{2/3}H^{2/3}(H^{2/3} - H_0^{2/3}) \\ & \times (\sin^2 \theta + H^{2/3} \tan \vartheta \cos \theta \sin \theta), \end{aligned} \tag{2}$$

где  $\chi = 1/4$ ,  $A = 4\rho_l\pi^{2/3}a_d^2\Omega^2R/(3\sigma)$ .

Здесь использована известная связь трех коэффициентов поверхностного натяжения  $\sigma_{sa} = \sigma_{ls} + \sigma_{la} \cos \theta_\sigma$  ( $\theta_\sigma$  — угол смачивания).

При записи уравнения (2) учтены условия сохранения объема  $V$  (и массы) капли, оставшейся на поверхности вращающегося тела:

$$V = 4\pi a_d^3 \xi / 3 = 4a^2 h / 3 = 4a_0^2 h_0 / 3.$$

Начальная высота пирамиды при этом равна

$$h_0 = \pi a_d^3 \xi / a_0^2.$$

Величина  $a$  связана с корнем уравнения (2) формулой

$$a = a_d \sqrt[3]{\xi \pi / H}.$$

Предполагается, что передняя сторона квадрата (основания пирамиды) перпендикулярна плоскости падения капли.

В качестве второго физического условия принято равновесие моментов сил относительно точки  $O$  — центра основания пирамиды льда, примерзающей к телу (рис. 2):

$$F_{\Omega X} \Delta Y_c = (F_{\Omega Y} + F_\sigma) \Delta X_c.$$

Здесь  $F_{\Omega X}, F_{\Omega Y}$  — тангенциальная и нормальная компоненты центробежной силы,  $F_\sigma$  — сила взаимодействия частицы с поверхностью,  $\Delta Y_c$  и  $\Delta X_c$  — смещения центра масс по нормали и касательной к поверхности. Предполагается, что вследствие наклона точка приложения вектора силы  $F_\sigma$  смещена в сторону, противоположную наклону, а ее абсцисса равна  $-\Delta X_c$ . Это смещение приводит к сложному перераспределению напряжений на поверхности контакта замерзающей капли и подложки. Нормальная и тангенциальная компоненты равнодействующей силы этого взаимодействия и ее точка приложения трудноопределяемы. В настоящей работе использованы следующие соображения. Прежде всего, тангенциальная компонента не представляет интереса, поскольку не дает вклада в баланс моментов сил относительно центра основания пирамиды. Согласно закону Юнга–Дюпре, энергия этого взаимодействия есть величина порядка  $4a^2\sigma(1 + \cos \theta_\sigma)$ . Приписывая ее контактной линии длиной  $8a$ , получим для силы оценку

$F_\sigma = a\sigma(1 + \cos \theta_\sigma)$ . В результате для определения угла  $\vartheta$  наклона оси пирамиды в безразмерных переменных имеем:

$$\tan \vartheta = \frac{AH^{1/3} \cos \theta \sin \theta}{AH^{1/3} \sin^2 \theta + (1 + \cos \theta_\sigma)/2}. \quad (3)$$

Видно, что при углах  $\theta = 0$  и  $\pi/2$  (в точке торможения и на экваторе) наклон оси отсутствует, а при  $\theta_\sigma = \pi$  (абсолютная несмачиваемость) исчезает сила взаимодействия с поверхностью (второе слагаемое в знаменателе).

### 3. Численная реализация и результаты расчетов

Численные исследования проведены для следующего набора определяющих параметров:  $u_\infty = 50$  m/s, радиус капля  $a_d = 200 \mu\text{m}$ , радиус сферы  $R = 15$  mm. При этом наборе параметров движение капля можно считать прямолинейным со скоростью  $V_d = u_\infty$ , так как число Стокса

$$\text{Stk} = \frac{2\rho_l a_d^2 u_\infty}{9\mu_a R} \approx 2 \cdot 10^4 \gg 1,$$

где  $\mu_a$  — вязкость воздуха.

Принят следующий набор значений параметров воды и воздуха:  $\mu_a = 1.3 \cdot 10^{-5}$ ,  $\mu_l = 10^{-3}$  Pa · s;  $\rho_l = 10^3$  kg/m<sup>3</sup>;  $\sigma = 0.07$  N/m.

При решении уравнения (2) начальное значение  $a_0$  находилось из условия равенства площадей контакта капли и сопутствующей пирамиды

$$\pi a_l b_l = 4a_0^2,$$

что приводит к зависимости  $a_0$  от угла  $\alpha$  падения капли и, следовательно, полярного угла  $\theta$ :

$$a_0 = \frac{\sqrt{\pi} r_l}{2 \cos^{1/10} \alpha}.$$

Для максимального радиуса  $r_l$  пятна контакта капли с поверхностью, определенному по формуле (1), начальное значение  $H_0$  оказывается довольно малым. Так,  $H_0 \approx 0.02$  для передней критической точки ( $\theta = 0$ ). Решение уравнения (2) при таком  $H_0$  имеет физический смысл (т.е.  $H = H_0$  при  $\theta = 0$ , где вращение отсутствует, и увеличивается при удалении от критической точки) лишь в узком диапазоне изменения угла  $\theta_\sigma$  ( $0.9996 \leq \cos \theta_\sigma \leq 1$ ).

Напомним, что формула (1) получена в [3] в предположении о том, что кинетическая энергия падающей капли диссипирует вследствие силы вязкого трения при растекании капли по поверхности. Очевидно, что этот процесс должен зависеть и от угла смачивания. При оценке работы силы трения использовался подгоночный множитель, равный  $\sqrt{6}$ , который был найден на основе сравнения с результатами [4] для мелких капля ( $a_d = 10 \mu\text{m}$ ).

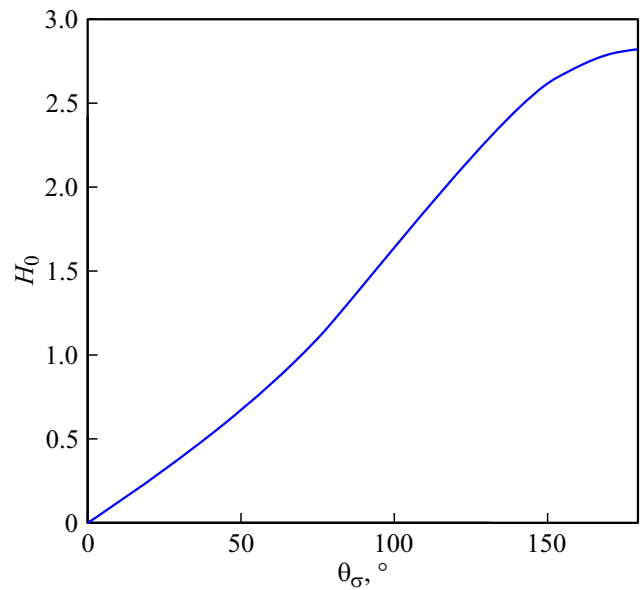


Рис. 3. Зависимость начальной относительной высоты пирамиды в точке торможения потока от угла смачивания.

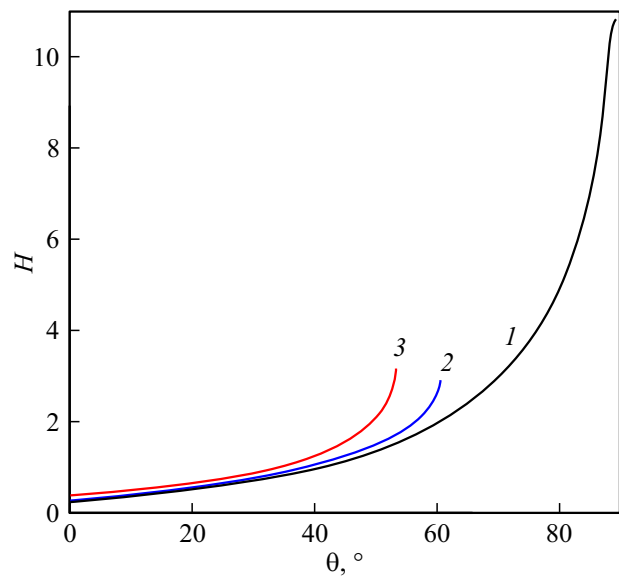
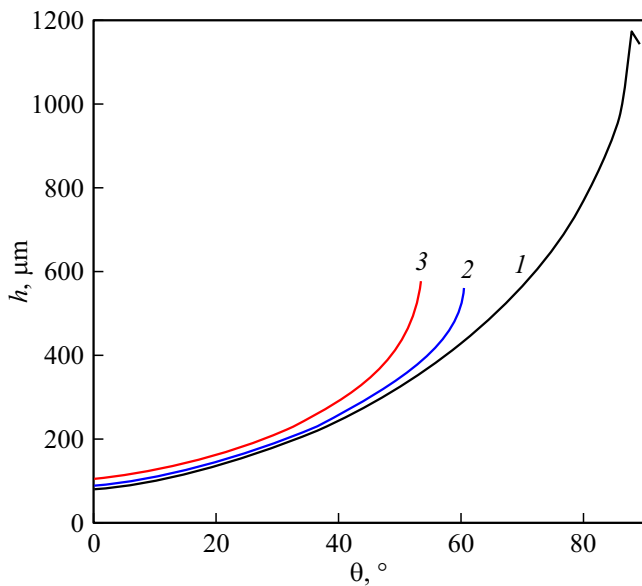


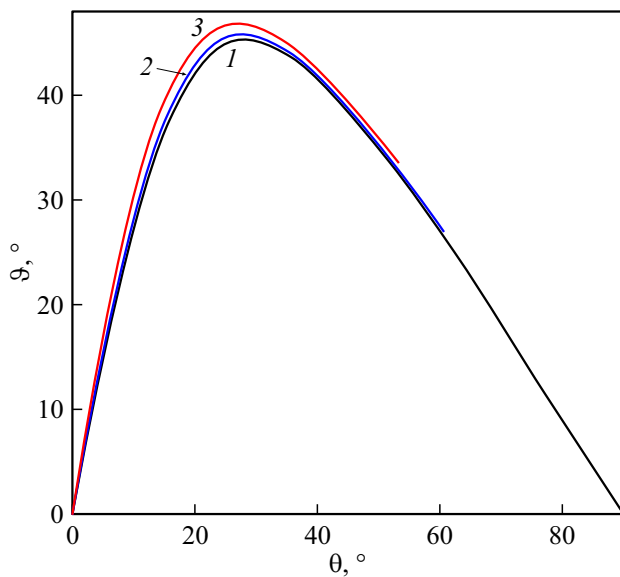
Рис. 4. Зависимость относительной высоты отвердевшей капли от полярного угла при значениях угла смачивания: 1 —  $\theta_\sigma = 21$ , 2 — 24, 3 — 31.5°.

В настоящей работе при изменении подгоночного множителя изменялось значение  $H_0$  в передней критической точке и определялась критическая величина  $\theta_\sigma$ , при которой решение уравнения (2) имеет физический смысл. Очевидно, что зависимость  $H_0(\theta_\sigma)$  должна быть однозначной и  $H_0(0) = 0$  (рис. 3).

На рис. 4 приведены результаты решения уравнения (2) для различных значений угла смачивания  $\theta_\sigma$  при частоте вращения  $f = 100$  Hz. Кривая 1 соответствует  $\theta_\sigma = 21^\circ$ . При этом значении  $\theta_\sigma$  замерзшая капля удерживается на поверхности во всем диапазоне изменения



**Рис. 5.** Зависимость высоты отвердевшей капли от полярного угла при значениях угла смачивания: 1 —  $\theta_\sigma = 21$ , 2 — 24, 3 —  $31.5^\circ$ .



**Рис. 6.** Зависимость угла наклона ледяной пирамиды от полярного угла при значениях угла смачивания: 1 —  $\theta_\sigma = 21$ , 2 — 24, 3 —  $31.5^\circ$ .

полярного угла  $\theta$ . При  $\theta_\sigma = 24$  и  $31.5^\circ$  (кривые 2 и 3) решение уравнения (2) отсутствует, если  $\theta$  превышает некоторое критическое значение, что соответствует отрыву замерзшей капли от поверхности. Указанные значения  $\theta_\sigma$  не относятся к какому-либо конкретному материалу обтекаемой сферы.

На рис. 5 представлены соответствующие зависимости высоты пирамиды от  $\theta$ . Максимальная высота пирамиды  $\sim 1$  мм, что оправдывает пренебрежение действием на нее аэродинамической силы при выводе формулы (3),

так как наиболее широкая часть пирамиды расположена в пограничном слое, в котором скорость воздуха стремится к нулю с приближением к поверхности.

Наконец, рис. 6 иллюстрирует немонотонную зависимость угла наклона пирамиды по отношению к локальной нормали. Видно, что с ростом полярного угла (определяющего место падения капли) локальный угол наклона растет вследствие увеличения центробежной силы, перпендикулярной оси вращения. Пройдя через максимум, он уменьшается, поскольку в направлении экватора локальная нормаль и центробежная сила стремятся совместиться.

## Закключение

Предложена модель для расчета геометрических параметров ледяных иголок в начальной стадии образования наледи на поверхности вращающейся сферы, основанная на использовании концепции сопутствующей пирамиды и ряда упрощающих предположений, в частности, пренебрежения влиянием аэродинамической силы и силы тяжести. Приведенные результаты численного исследования иллюстрируют основные качественные черты явления: удлинение ледяных игл под действием центробежной силы и их отрыв при определенных значениях угловой скорости и полярного угла на поверхности вращающейся сферы, немонотонную зависимость угла наклона по отношению к локальной нормали.

## Финансирование работы

Исследование выполнено при финансовой поддержке РФФИ, проект 19-29-13024.

## Конфликт интересов

Авторы заявляют, что у них нет конфликта интересов.

## Список литературы

- [1] L. Li, Y. Liu, H. Hu. *Exp. Therm. Fluid Sci.*, **109**, 109879 (2019). DOI: 10.1016/J.EXPTHERMFLUSCI.2019.109879
- [2] L. Tian, L. Li, Ha. Hu, Hu. *J. Thermophys. Heat Transf.*, **37** (2), 353 (2023). DOI: 10.2514/1.T6667
- [3] А.В. Кашеваров, А.Л. Стасенко. *ЖТФ*, **90** (1), 46 (2020). DOI: 10.21883/JTF.2020.01.48659.173-19 [A.V. Kashevarov, A.L. Stasenko. *Tech. Phys.*, **65** (1), 41 (2020). DOI: 10.1134/S1063784220010120]
- [4] P. Berthoumieu. *4th AIAA Atmospheric and Space Environments Conf.*, AIAA 2012–3130 (2012), DOI: 10.2514/6.2012-3130
- [5] R. Cimpanu, D.T. Papageorgiou. *Intern. J. Multiphase Flow*, **107**, 192 (2018). DOI: 10.1016/j.ijmultiphaseflow.2018.06.011
- [6] A. Goswami, J.K. Singh. *Phys. Chem. Chem. Phys.*, **23** (29), 15402 (2021). DOI: 10.1039/D1CP02617H

- [7] M.E. Pereľman, V.A. Tatarchenko. *Phys. Lett. A*, **372** (14), 2480 (2008). DOI: 10.1016/j.physleta.2007.11.056
- [8] R. Stahlberg, H. Yoo, G. Pollack. *Indian J. Phys.*, **93**, 221 (2019). DOI: 10.1007/s12648-018- 1265-6
- [9] Л.Б. Бойнович, А.М. Емельяненко. Доклады РАН, **459** (6), 702 (2014). DOI: 10.7868/S0869565214360122 [L.B. Boinovich, A.M. Emelyanenko. *Dokl. Phys. Chem.*, **459** (2), 198 (2014). DOI: 10.1134/S0012501614120045]